

PROGETTAZIONE E SVILUPPO SPERIMENTALE DI SISTEMI DI CONTROLLO SU PIATTAFORME EMBEDDED



Università degli Studi
Mediterranea
di Reggio Calabria

Relatore

Prof. Valerio Scordamaglia

Candidato

Salvatore Avellino

Correlatore

Vito Antonio Nardi

INTRODUZIONE

- Negli ultimi decenni, si è assistito ad un aumento esponenziale di applicazioni in cui l'utilizzo di sistemi elettronici è diventato una costante da cui non è più possibile prescindere: tali apparati elettronici sono sistemi computer-based normalmente detti *embedded systems*.
- L'ampio ventaglio di possibili applicazioni sta mantenendo alta l'attenzione su tali sistemi, e a giudicare dalle previsioni di crescita economica del mercato embedded, tale interesse non è destinato a diminuire.
- Il presente lavoro di tesi mira a proporre degli esempi di utilizzo della tecnologia embedded nell'ambito dei sistemi di controllo, affrontando il problema dello sviluppo e dell'implementazione di alcuni algoritmi di controllo digitale per due setup sperimentali.
- I sistemi di controllo sono stati implementati sulle piattaforme embedded Arduino MEGA 2560, STM32 NUCLEO F401RE e Raspberry Pi 3 model B.
- Al fine di verificare la bontà del processo di sviluppo, la validazione delle prestazioni degli algoritmi di controllo è avvenuta confrontando i risultati sperimentali con quelli simulativi.

SISTEMI EMBEDDED

Per sistema embedded si tende ad indicare l'insieme composto da hardware e software dedicato a specifici scopi, i cui elementi siano tutti quanti integrati ed incorporati¹.

- Bassi consumi di energia
- Adattabilità ed affidabilità
- Dimensioni e costi contenuti

Capacità di interazione col mondo esterno.

- Periferiche di comunicazione seriale
- GPIO, moduli PWM, ADC, ecc.



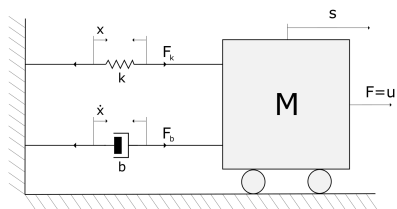
APPLICAZIONI

Trasporti, applicazioni elettriche ed elettroniche, controllo dei processi, telecomunicazioni, sicurezza, ecc.

¹ Carraturo Alexja, Trentini Andrea - Sistemi Embedded: Teoria e Pratica. Ledizioni (2017).

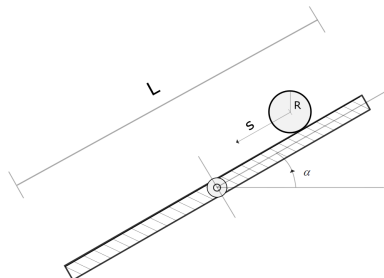
SISTEMI DI INTERESSE

Massa-Molla-Smorzatore (stabile)



$$\begin{cases} \dot{x}_1 = x_2 \\ \dot{x}_2 = -\frac{k}{M}x_1 - \frac{b}{M}x_2 + \frac{1}{M}u \\ y = x_1 \end{cases}$$

Ball-Beam (instabile)



$$\begin{cases} \dot{x}_1 = x_2 \\ \dot{x}_2 = \frac{5}{7}gu \\ y = x_1 \end{cases}$$

TRADUZIONE MODELLO MATEMATICO

ESEMPIO MASSA-MOLLA-SMORZATORE

- STATO x_2

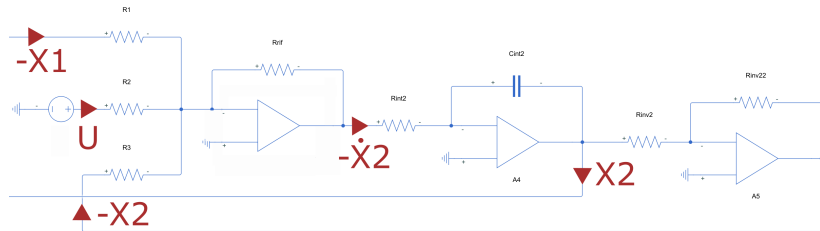
$$\dot{x}_2 = -\frac{k}{M}x_1 - \frac{b}{M}x_2 + \frac{1}{M}u$$



Sommatore Invertente

Integratore Invertente

Amplificatore Invertente



TRADUZIONE MODELLO MATEMATICO

Relazioni tra i componenti passivi delle configurazioni.

$$\text{SOMMATORE INV.} \quad \implies \quad \frac{R_{rif}}{R_1} = \frac{k}{M} \quad - \quad \frac{R_{rif}}{R_2} = \frac{1}{M} \quad - \quad \frac{R_{rif}}{R_3} = \frac{b}{M}$$

$$\text{INTEGRATORE INV.} \quad \implies \quad R_{int2} C_{int2} = 1$$

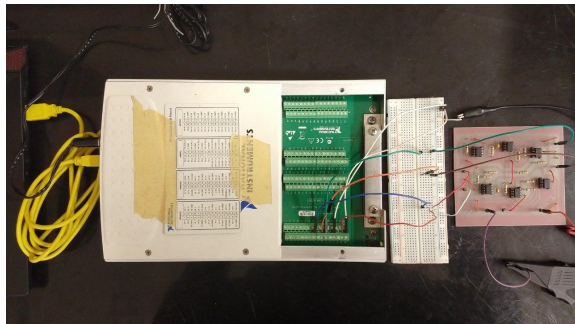
$$\text{AMPLIFICATORE INV.} \quad \implies \quad R_{inv2} = R_{inv22}$$

Tra le infinite combinazioni di elementi passivi compatibili con i vincoli, è stata scelta la configurazione che minimizza il consumo di corrente.

VERIFICA COMPORTAMENTO

Valutazione delle dinamiche a ciclo aperto dei circuiti di prova, per mezzo di una scheda DAQ NI 6259.

- Generazione ingresso
- Acquisizione segnali
- Importazione su MATLAB
- Confronto risultati sperimentali e simulativi



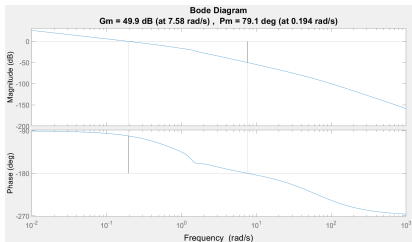
SPECIFICHE E PRESTAZIONI

Massa-Molla-Smorzatore

- Errore a regime nullo per riferimenti di tipo gradino
- Sovra-elongazione massima del 10%
- Tempo di assestamento al 3% di 30 s



- $\omega_c = 0.1977 \text{ rad/s}$
- $M_f \simeq 82.4834^\circ$



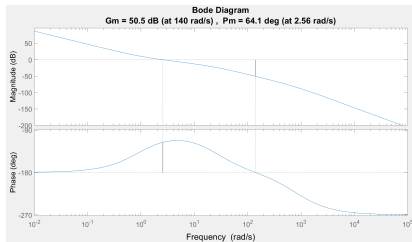
Funzione di anello per sistema M-M-S

Ball-Beam

- Errore a regime nullo per riferimenti di tipo gradino
- Sovra-elongazione massima del 20%
- Tempo di assestamento al 3% di 3 s



- $\omega_c = 2.5636 \text{ rad/s}$
- $M_f \simeq 64.2561^\circ$



Funzione di anello per sistema B-B

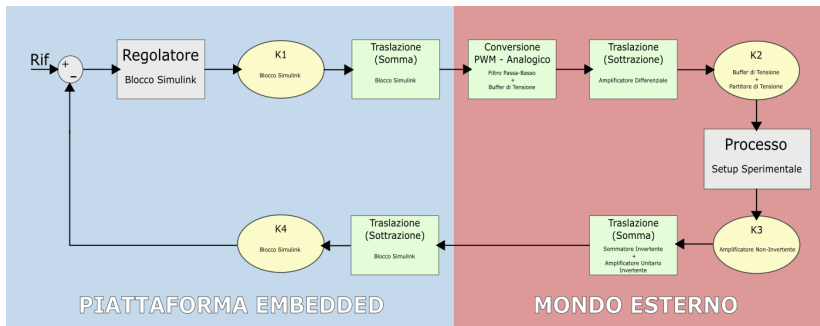
CONFRONTO PIATTAFORME EMBEDDED

	Arduino MEGA 2560	STM32 NUCLEO F401RE	Raspberry Pi 3 model B
CLK_{cpu}	16 Mhz	84 Mhz	1.2 Ghz
OS	single-task	multi-task RT	multi-task
V_{range}	0 V \rightarrow 5 V	0 V \rightarrow 3.3 V	0 V \rightarrow 3.3 V
ADC	presente	presente	assente
RIS_{adc}	10 bit \Rightarrow 4.88 mV	12 bit \Rightarrow 0.805 mV	-
F_{pwm}	480 Hz - 980 Hz	\leq 12 MHz	\leq 19.2 MHz

Frequenza e risoluzione utilizzate per il segnale PWM.

	Arduino MEGA 2560	STM32 NUCLEO F401RE	Raspberry Pi 3 model B
F_{pwm}	980 Hz	980 Hz	1171.875 Hz
RIS_{pwm}	8 bit \Rightarrow 19.5 mV	8 bit \Rightarrow 12.9 mV	10 bit \Rightarrow 3.22 mV

SISTEMA DI CONTROLLO

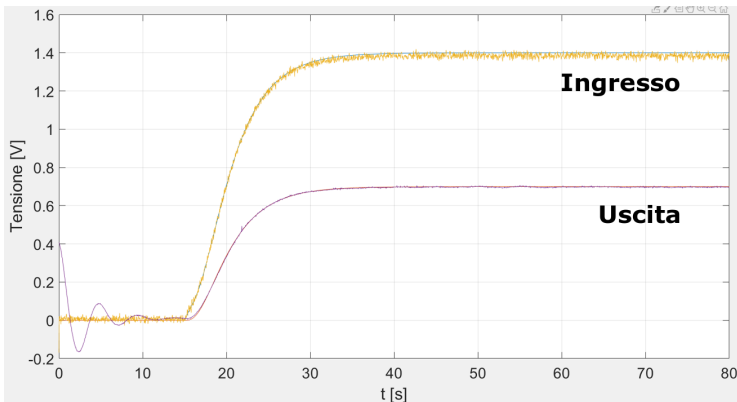


SCHEMA DI RETROAZIONE UNITARIA

- PIATTAFORMA EMBEDDED** \Rightarrow Confronta l'uscita del processo col riferimento e calcola l'azione di controllo.
- SETUP SPERIMENTALE** \Rightarrow Rappresenta il processo a cui imporre il comportamento desiderato.
- INTERFACCIA** \Rightarrow Circuiti e blocchi Simulink per gestire le tensioni.

STM32 NUCLEO F401RE - MASSA-MOLLA-SMORZATORE

Riferimento Gradino \implies Istante applicazione = 15 s - Ampiezza gradino = 0.7

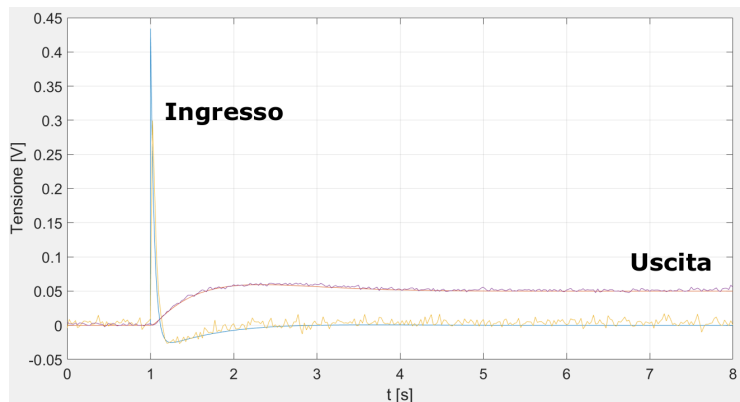


Ingresso/Uscita **Simulati** \rightarrow BLU / ROSSO

Ingresso/Uscita **Acquisiti** \rightarrow GIALLO / VIOLA

ARDUINO MEGA 2560 - BALL-BEAM

Riferimento Gradino \implies Istante applicazione = 1 s - Ampiezza gradino = 0.05



Ingresso/Uscita **Simulati** \rightarrow BLU / ROSSO

Ingresso/Uscita **Acquisiti** \rightarrow GIALLO / VIOLA

CRITICITÀ IMPLEMENTAZIONE SU RASPBERRY

Sistema operativo multi-task non real-time \implies *Installazione patch RT*

- Rende il kernel Linux fully-preemptible, permettendo l'esecuzione di processi real-time.

ADC integrato assente \implies *Impiego di ADC esterno ADS1115*

- Permette l'acquisizione di segnali analogici ma non rientra nell'hardware supportato da Simulink.

Generazione PWM hardware preferibile a quella software

- Per generare PWM hardware si ricorre ad una libreria esterna non presente in Simulink.

CODICE AUTOGENERATO

Lettura ADC ADS1115



Codice C del Controllo



Generazione PWM

```

// Lettura di A0
if (read(fd, readBuf, 2) != 2) {
    perror("Read conversion");
    exit(-1);
}
val = readBuf[0] <<8 | readBuf[1];
if (val < 0) {val = 0;}
rtU.readADC = val * VPS;

real_T Rd_tmp;

if ((rtM->Timing.clockTick0) * 0.005) < 80.0) {
    Rd_tmp = 0.0;
} else {
    Rd_tmp = 0.05;
}

Rd_tmp = (Rd_tmp - (rtU.readADC - rtU.traslazione)
-0.882135903460493 * rtDW.Rd_states;

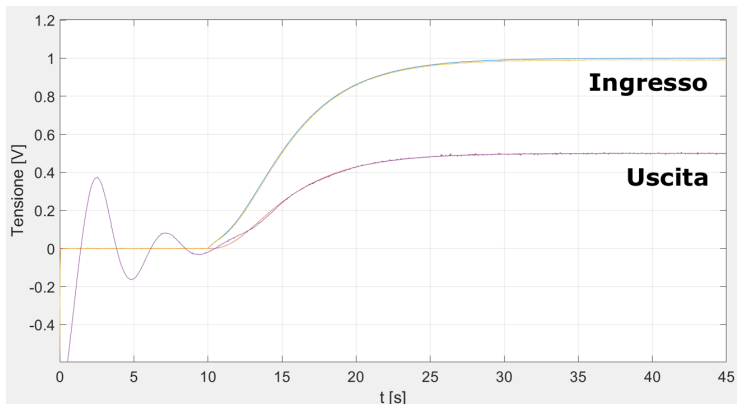
rtY.codePWM = (int16_T)floor(((8.6815097938507382
-8.643624905677326 * rtDW.Rd_states) * 3.3 + rtU
310.30303030303031);

pwmWrite(PIN, rtY.codePWM);

```

RASPBERRY PI 3 MODEL B - MASSA-MOLLA-SMORZATORE

Riferimento Gradino \Rightarrow Istante applicazione = 10 s - Ampiezza gradino = 0.5



Ingresso/Uscita **Simulati** \rightarrow BLU / ROSSO

Ingresso/Uscita **Acquisiti** \rightarrow GIALLO / VIOLA

VERIFICA REQUISITI TEMPORALI

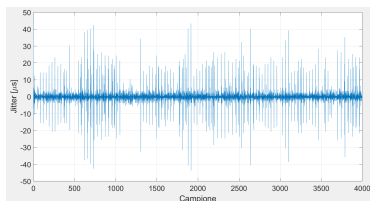
JITTER

Errore temporale commesso ad ogni iterazione del processo, per un dato tempo di esecuzione (*deadline*).

Massa-Molla-Smorzatore

Valori massimi di jitter ed incertezza sul tempo di campionamento:

- $T_j = 146 \mu\text{s}$
- $\Delta = 0.24\%$

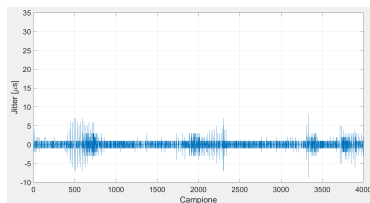


Errore relativo ad istante di avvio della routine per M-M-S

Ball-Beam

Valori massimi di jitter ed incertezza sul tempo di campionamento:

- $T_j = 182 \mu\text{s}$
- $\Delta = 1.78\%$



Errore relativo ad istante di avvio della routine per B-B

CONCLUSIONI

- Sono stati realizzati due circuiti analogici i cui comportamenti riproducono le dinamiche del sistema Massa-Molla-Smorzatore e del sistema Ball-Beam.
- Sono stati progettati due algoritmi di controllo digitale per la regolazione dei setup sperimentali, implementati utilizzando i tool di generazione automatica del codice di controllo presenti nell'ambiente di sviluppo MATLAB/Simulink (*Code Generation Advisor* ed *Embedded Coder*).
- I regolatori sono stati realizzati sulle piattaforme embedded Arduino MEGA 2560, STM32 NUCLEO F401RE e Raspberry Pi 3 model B.
- Il sistema operativo del Raspberry è stato predisposto all'esecuzione di processi real-time, ed è stata utilizzata una procedura *ad hoc* per l'interfacciamento del codice di controllo autogenerato con le periferiche di input/output della piattaforma embedded.
- Per tutti i setup sperimentali, la validazione delle prestazioni degli algoritmi di controllo è avvenuta con successo, confrontando i risultati ottenuti sperimentalmente con quelli ottenuti per via simulativa.

PROGETTAZIONE E SVILUPPO SPERIMENTALE DI SISTEMI DI CONTROLLO SU PIATTAFORME EMBEDDED



Università degli Studi
Mediterranea
di Reggio Calabria

Relatore

Prof. Valerio Scordamaglia

Candidato

Salvatore Avellino

Correlatore

Vito Antonio Nardi

Vincoli del problema di ottimizzazione

$$\frac{1}{R_{int1}} \dot{x}_1 + \frac{1}{R_{inv1}} x_1 + \frac{k}{MR_{rif}} x_1 \leq I_{max}$$

$$\frac{1}{R_{inv1}} x_1 \leq I_{max}$$

$$\frac{1}{R_{int2}} \dot{x}_2 + \frac{1}{R_{rif}} \dot{x}_2 \leq I_{max}$$

$$\frac{1}{R_{int1}} x_2 + \frac{1}{R_{int2}} \dot{x}_2 + \frac{1}{R_{inv2}} x_2 \leq I_{max}$$

$$\frac{1}{R_{inv2}} x_2 + \frac{b}{MR_{rif}} x_2 \leq I_{max}$$

Indice di costo

$$F = \Delta I_1^2 + \Delta I_2^2 + \Delta I_3^2 + \Delta I_4^2 + \Delta I_5^2$$

- Ogni delta rappresenta la differenza tra un valore di corrente ideale liberamente definibile dall'utente (purché inferiore ad I_{max}) e le i-esime correnti effettivamente erogate dagli amplificatori in base ai vari resistori e condensatori utilizzabili.

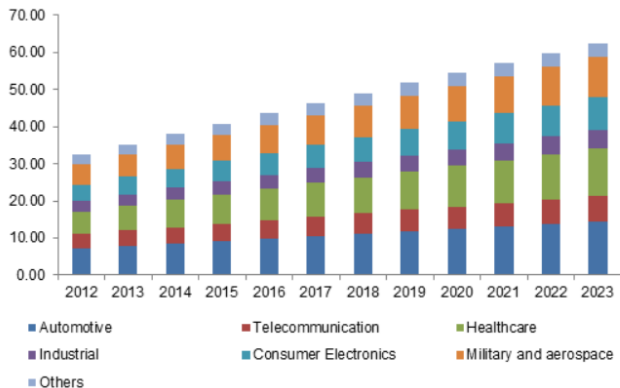
Argomenti della funzione *fmincon*: i vincoli sono espressi nella forma $Ax \leq b$.

$$b = \begin{bmatrix} I_{max} \\ I_{max} \\ I_{max} \\ I_{max} \\ I_{max} \end{bmatrix}$$

$$x = G = \begin{bmatrix} G_{int1} \\ G_{int2} \\ G_{inv1} \\ G_{inv2} \\ G_{rif} \end{bmatrix}$$

$$A = V = \begin{bmatrix} \dot{x}_1 & 0 & x_1 & 0 & \frac{k}{M}x_1 \\ 0 & 0 & x_1 & 0 & 0 \\ 0 & \dot{x}_2 & 0 & 0 & \dot{x}_2 \\ x_2 & \dot{x}_2 & 0 & x_2 & 0 \\ 0 & 0 & 0 & x_2 & \frac{b}{M}x_2 \end{bmatrix}$$

Nel 2015 il mercato globale dei sistemi embedded era stato valutato essere di 159.00 miliardi di dollari americani, ed era stato stimato che per la fine del 2021 avrebbe raggiunto un valore di 225.34 miliardi; ricerche di mercato più recenti, confermano il trend di crescita arrivando a dichiarare che supererà i 258.72 miliardi nel 2023.



Dimensione mercato europeo (in miliardi di dollari) per sistemi embedded

ESEMPIO MASSA-MOLLA-SMORZATORE

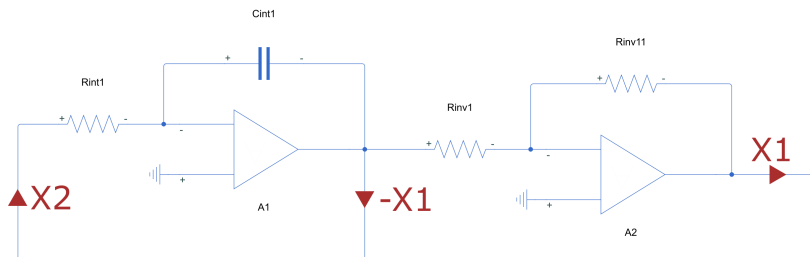
- STATO x_1

$$\dot{x}_1 = x_2$$

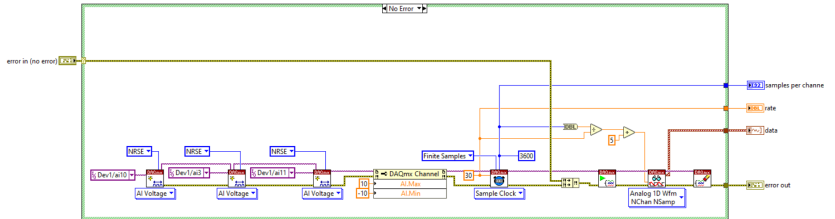


Integratore Invertente

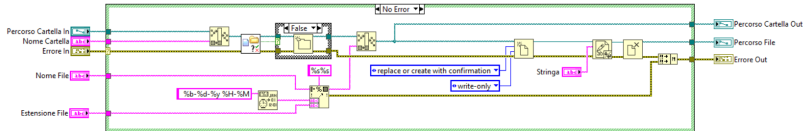
Amplificatore Invertente



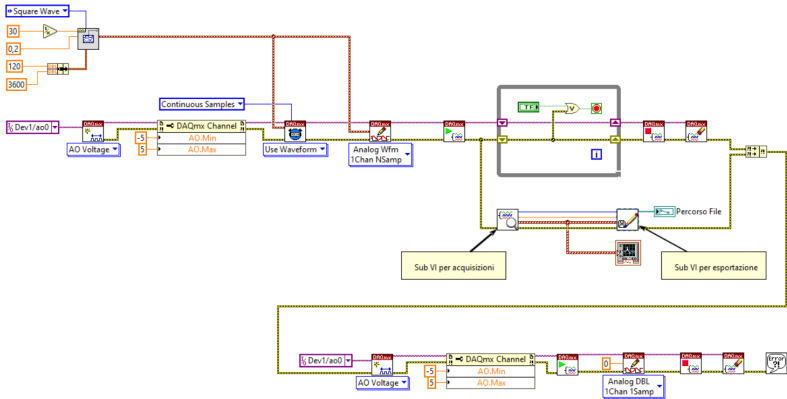
Sub VI *getSignals*



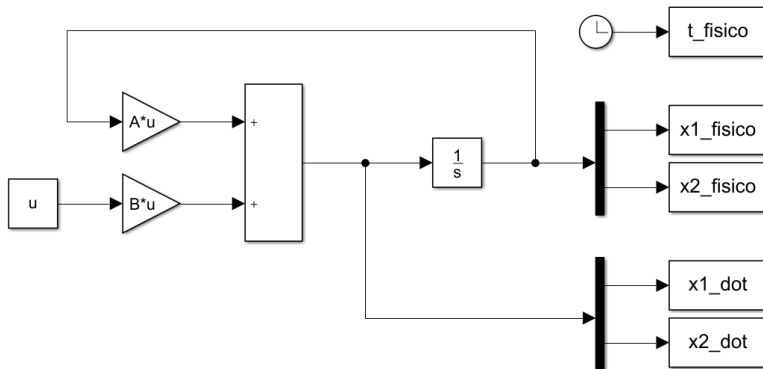
Sub VI Save



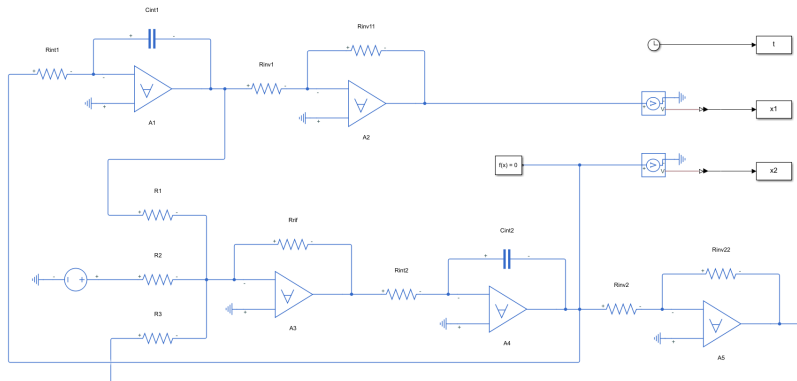
VI Main



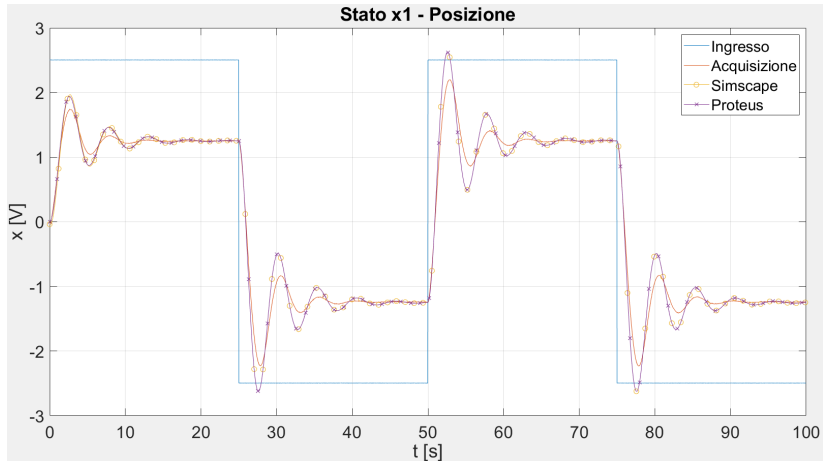
Esempio di modello matematico implementato in Simulink



Esempio di schema Simscape per circuito elettrico



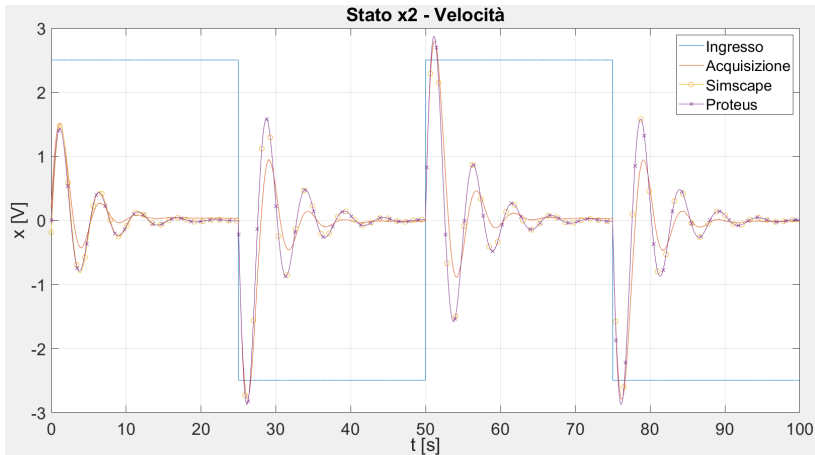
Massa-Molla-Smorzatore - Stato x_1



Ingresso/Risposta → BLU / ROSSO

Simscape/Proteus → GIALLO / VIOLA

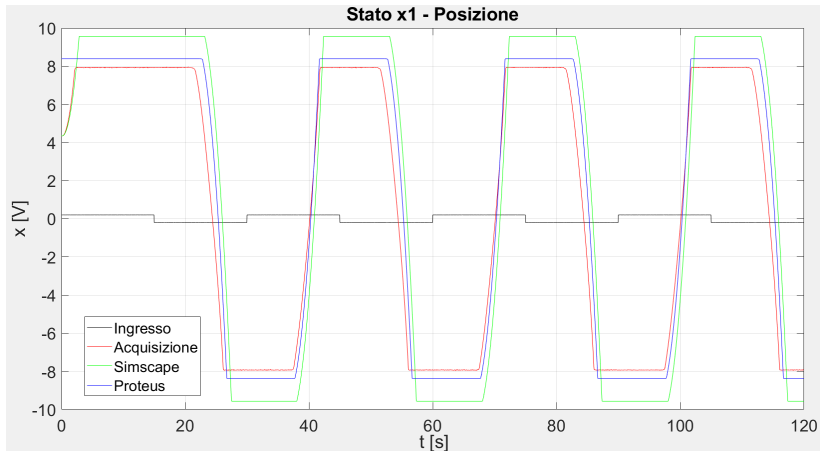
Massa-Molla-Smorzatore - Stato x_2



Ingresso/Risposta → BLU / ROSSO

Simscape/Proteus → GIALLO / VIOLA

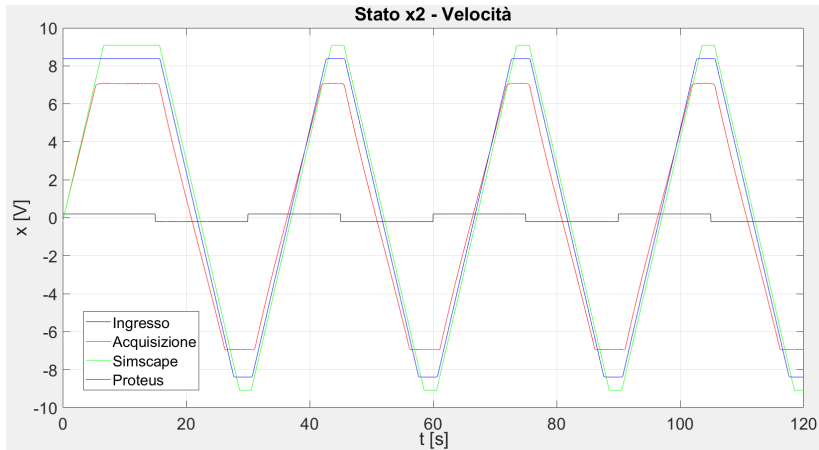
Ball-Beam - Stato x_1



Ingresso/Risposta → NERO / ROSSO

Simscape/Proteus → VERDE / BLU

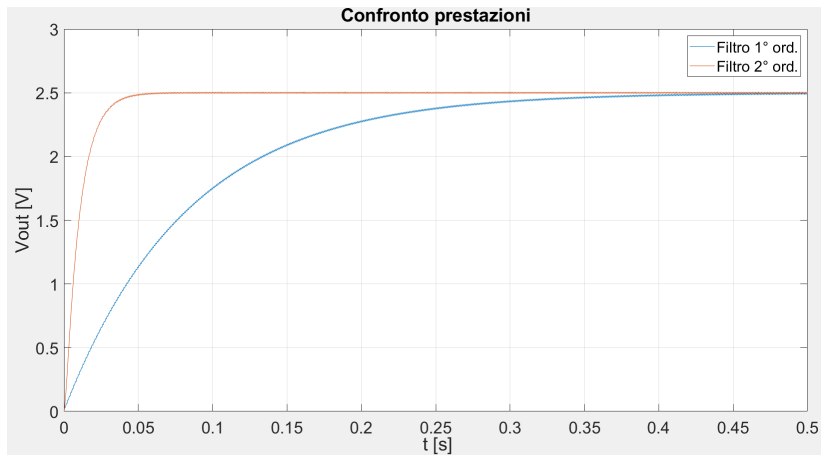
Ball-Beam - Stato x_2



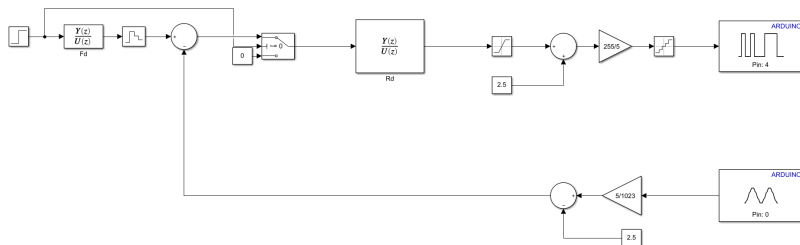
Ingresso/Risposta → NERO / ROSSO

Simscape/Proteus → VERDE / BLU

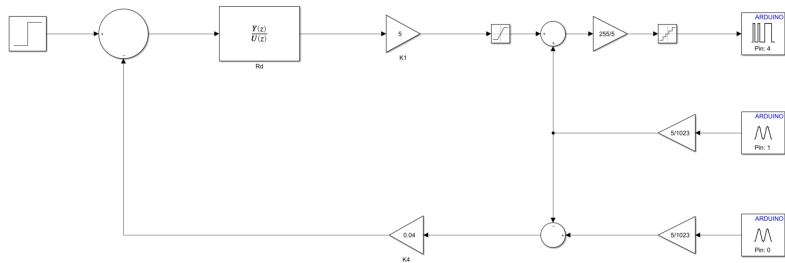
Risposta filtro passa-basso di primo e secondo ordine.



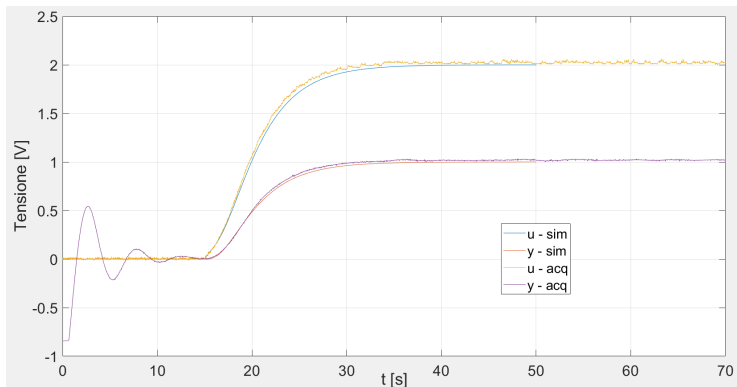
Schema di controllo Massa-Molla-Smorzatore per Arduino MEGA 2560.



Schema di controllo Ball-Beam per Arduino MEGA 2560.



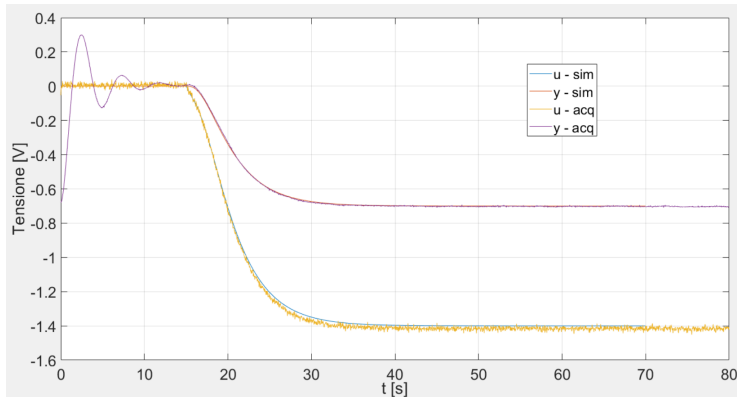
Riferimento Gradino \implies Istante applicazione = 15 s - Ampiezza gradino = 1



Ingresso/Uscita **Simulati** \rightarrow BLU / ROSSO

Ingresso/Uscita **Acquisiti** \rightarrow GIALLO / VIOLA

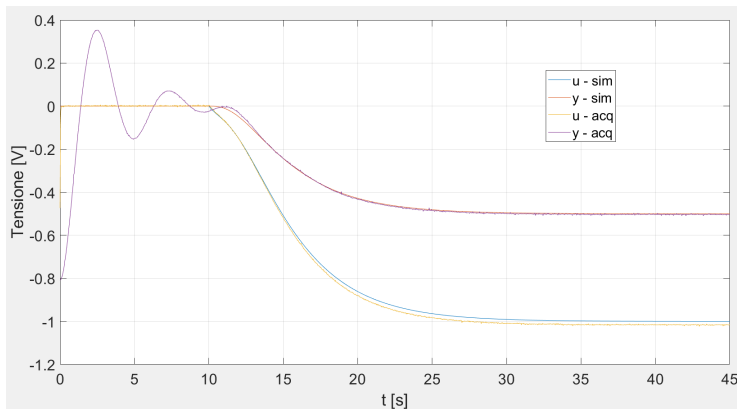
Riferimento Gradino \implies Istante applicazione = 15 s - Ampiezza gradino = -0.7



Ingresso/Uscita **Simulati** \rightarrow BLU / ROSSO

Ingresso/Uscita **Acquisiti** \rightarrow GIALLO / VIOLA

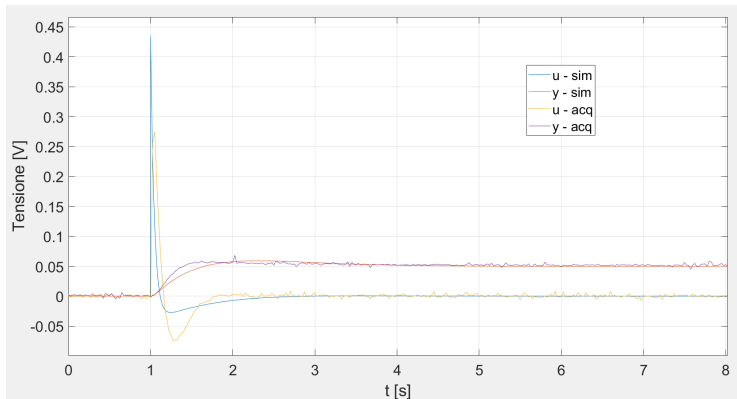
Riferimento Gradino \implies Istante applicazione = 10 s - Ampiezza gradino = -0.5



Ingresso/Uscita **Simulati** \rightarrow BLU / ROSSO

Ingresso/Uscita **Acquisiti** \rightarrow GIALLO / VIOLA

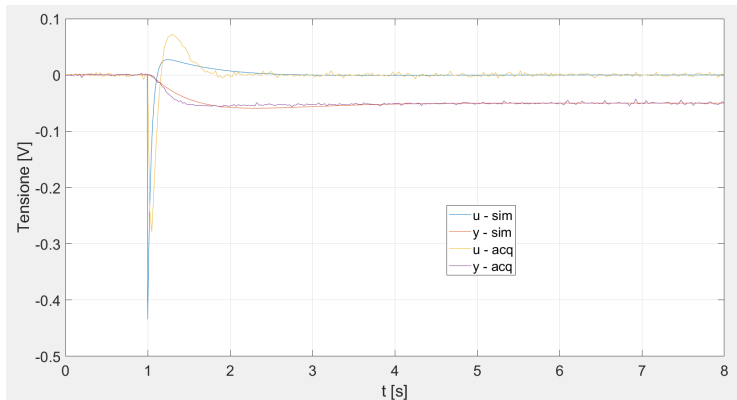
Riferimento Gradino \implies Istante applicazione = 1 s - Ampiezza gradino = 0.05



Ingresso/Uscita **Simulati** \rightarrow BLU / ROSSO

Ingresso/Uscita **Acquisiti** \rightarrow GIALLO / VIOLA

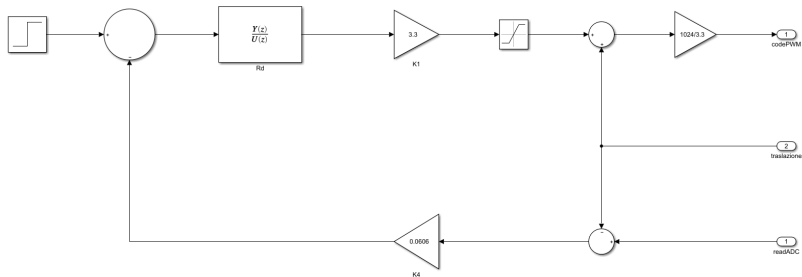
Riferimento Gradino \implies Istante applicazione = 1 s - Ampiezza gradino = -0.05



Ingresso/Uscita **Simulati** \rightarrow BLU / ROSSO

Ingresso/Uscita **Acquisiti** \rightarrow GIALLO / VIOLA

Schema di controllo Ball-Beam per Raspberry Pi 3 model B.



Porzione del makefile (sezione *Faster Runs Build Configuration*) modificata con l'indicazione della libreria da considerare.

```
#-----  
# "Faster Runs" Build Configuration  
#-----  
  
ARFLAGS          = -r  
ASFLAGS          = -c \  
                  $(ASFLAGS_ADDITIONAL) \  
                  $(INCLUDES)  
CFLAGS           = -c \  
                  -MMD -MP -MF"$(@:%.o-%.dep)" -MT"$@" \  
                  -O2  
CPPFLAGS         = -c \  
                  -MMD -MP -MF"$(@:%.o-%.dep)" -MT"$@" \  
                  -O2  
CPP_LDFLAGS      = -lrt -lpthread -lwiringPi -ldl  
CPP_SHARED_LIB_LDFLAGS = -shared \  
                  -lrt -lpthread -lwiringPi -ldl  
  
DOWNLOAD_FLAGS  =  
EXECUTE_FLAGS   =  
LDFLAGS         = -lrt -lpthread -lwiringPi -ldl  
MEX_CPPFLAGS    =  
MEX_CPPLDFLAGS =  
MEX_CFLAGS      =  
MEX_LDFLAGS     =  
MAKE_FLAGS      = -f $(MAKEFILE)  
SHARED_LIB_LDFLAGS = -shared \  
                  -lrt -lpthread -lwiringPi -ldl
```

L'utility *make* è quella che si occupa della gestione della compilazione in base alle istruzioni fornite dal makefile: nella presente applicazione, si è reso necessario aggiungere al comando la dichiarazione di una variabile di ambiente utilizzata nel makefile.

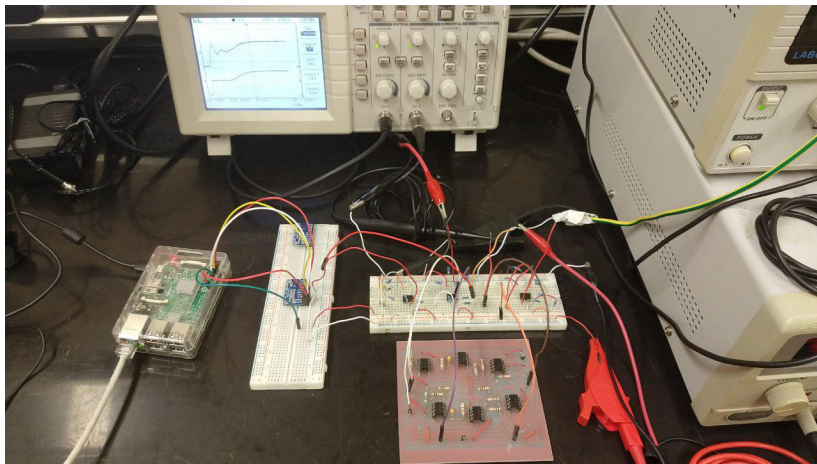
```
pi@realtimepi:~/massaMollaSmorzatore/MATLAB_ws/R2019a/C/Users/Salvatore/Desktop/Tesi_Magistrale/embeddedMMS_rasp
controlloMMS_ert_rtw $ make -f controlloMMS.mk all MATLAB_WORKSPACE=~/.massaMollaSmorzatore/MATLAB_ws/R2019a
```

L'esecuzione del comando genera, nella cartella padre di quella contenente il makefile, un eseguibile con estensione *.elf* da avviare tramite comando *sudo*. Una prima conferma della validità della procedura è ottenibile con il comando *top*.

```
pi@realtimepi: ~/ballBeam/MATLAB_ws/R2019a/C/Users/Salvatore/Desktop/Tesi_Magistrale/embeddedBB_raspPi
top - 15:00:28 up 3:23, 1 user, load average: 1.12, 1.00, 0.77
Tasks: 1 total, 0 running, 1 sleeping, 0 stopped, 0 zombie
%Cpu(s): 0.0 us, 2.4 sy, 0.0 ni, 97.6 id, 0.0 wa, 0.0 hi, 0.0 si, 0.0 st
KiB Mem : 948908 total, 785760 free, 31868 used, 131280 buff/cache
KiB Swap: 102396 total, 102396 free, 0 used. 855064 avail Mem
```

PID	USER	PR	NI	VIRT	RES	SHR	S	%CPU	%MEM	TIME+	COMMAND
1514	root	rt	0	21440	1220	1060	S	5.0	0.1	0:11.90	controlloBB.elf

Setup complessivo del sistema di controllo a ciclo chiuso.



PROGETTAZIONE E SVILUPPO SPERIMENTALE DI SISTEMI DI CONTROLLO SU PIATTAFORME EMBEDDED



Università degli Studi
Mediterranea
di Reggio Calabria

Relatore

Prof. Valerio Scordamaglia

Candidato

Salvatore Avellino

Correlatore

Vito Antonio Nardi